

## GUÍA 3: 1D

Franco Victorio, Emmanuel Rojas Fredini, Esteban XXX

### 1. EJERCICIO 4

Ecuacion Diferencial:

$$\frac{\partial}{\partial x} \left( k \frac{\partial T}{\partial x} \right) + \frac{\partial}{\partial y} \left( k \frac{\partial T}{\partial y} \right) + Q - c(T - T_{amb}) = 0 \quad (1)$$

- Donde k cte escalar.
- Donde Q cte escalar, al menos dentro de 1 elemento.

CC:

$$k \frac{\partial T}{\partial \vec{n}} = -h(T - T_{amb}) \quad \Gamma_{inf} \quad (2)$$

$$k \frac{\partial T}{\partial \vec{n}} = -\bar{q} \quad \Gamma_q \quad (3)$$

$$T = \bar{T} \quad \Gamma_\phi \quad (4)$$

Nuestra aproximacion sera:

$$T \approx \hat{T} = \sum a_m N_m(x) \quad (5)$$

Las condiciones Dirichlet en los bordes  $\Gamma_\phi$  se impondran en la matriz ensamblada, es decir se impondran los coeficientes  $a$  a el valor correspondiente.

Nuestra aproximacion de MRP sera:

$$\int W_l \left( k \frac{\partial^2 \hat{T}}{\partial x^2} + Q + c(\hat{T} - T_{amb}) \right) d\Omega + \int \bar{W}_l \left( -k \frac{\partial \hat{T}}{\partial \vec{n}} + h(\hat{T} - T_{amb}) \right) d\Gamma_{inf} + \int \bar{W}_l \left( k \frac{\partial \hat{T}}{\partial \vec{n}} + \bar{q} \right) d\Gamma_q = 0$$

Debilitamos:

$$-k \int \frac{\partial W_l}{\partial x} \frac{\partial \hat{T}}{\partial x} d\Omega + k \int W_l \frac{\partial \hat{T}}{\partial \vec{n}} d\Gamma_{\text{inf}+q+\phi} + \int W_l \left( Q + c \left( \hat{T} - T_{amb} \right) \right) d\Omega + \\ \int \bar{W}_l \left( -k \frac{\partial \hat{T}}{\partial \vec{n}} + h \left( \hat{T} - T_{amb} \right) \right) d\Gamma_{\text{inf}} + \int \bar{W}_l \left( k \frac{\partial \hat{T}}{\partial \vec{n}} + \bar{q} \right) d\Gamma_q = 0$$

Elegimos:

$$\begin{array}{ll} \bar{W}_l = -W_l & \text{en } \Gamma_{\text{inf}} \\ W_l = 0 & \text{en } \Gamma_{\phi} \\ \bar{W}_l = -W_l & \text{en } \Gamma_q \end{array}$$

$$-k \int \frac{\partial W_l}{\partial x} \frac{\partial \hat{T}}{\partial x} d\Omega + \int W_l \left( Q + c \left( \hat{T} - T_{amb} \right) \right) d\Omega - h \int W_l \left( \hat{T} - T_{amb} \right) d\Gamma_{\text{inf}} - \int W_l \bar{q} d\Gamma_q = 0$$

Usamos Galerkin, es decir  $W_l = N_l$ :

$$-k \int \frac{\partial N_l}{\partial x} \frac{\partial \hat{T}}{\partial x} d\Omega + \int N_l \left( Q + c \left( \hat{T} - T_{amb} \right) \right) d\Omega - h \int N_l \left( \hat{T} - T_{amb} \right) d\Gamma_{\text{inf}} - \int N_l \bar{q} d\Gamma_q = 0$$

Reemplazamos  $\hat{T}$ :

$$\sum -k \int \frac{\partial N_l}{\partial x} \frac{\partial \sum a_m N_m}{\partial x} d\Omega + \int N_l \left( Q + c \left( \sum a_m N_m - T_{amb} \right) \right) d\Omega - \\ h \int N_l \left( \sum a_m N_m - T_{amb} \right) d\Gamma_{\text{inf}} - \int N_l \bar{q} d\Gamma_q = 0$$

$$\sum -k \int \frac{\partial N_l}{\partial x} \frac{\partial N_m}{\partial x} d\Omega a_m + c \int N_l N_m d\Omega a_m + \int N_l (Q - c T_{amb}) d\Omega - \\ h \int N_l (N_m - T_{amb}) d\Gamma_{\text{inf}} a_m - \int N_l \bar{q} d\Gamma_q = 0$$

$$\sum \left[ -k \int \frac{\partial N_l}{\partial x} \frac{\partial N_m}{\partial x} + c N_l N_m d\Omega - h \int N_l (N_m - T_{amb}) d\Gamma_{\text{inf}} \right] a_m = - \int N_l (Q - c T_{amb}) d\Omega + \int N_l \bar{q} d\Gamma_q$$

Las matrices elementales son:

$$K_{l,m}^e = k \int \frac{\partial N_l}{\partial x} \frac{\partial N_m}{\partial x} + c N_l N_m d\Omega^e - h \int N_l (N_m - T_{amb}) d\Gamma_{\text{inf}}^e \quad (6)$$

$$f_l^e = \int N_l (Q - c T_{amb}) d\Omega^e - \int N_l \bar{q} d\Gamma_q \quad (7)$$

### 1.1. Caso particular

Se condidera el caso donde:

- $c = 0$
- $k = 1$
- $Q = 1$  para  $x \in [0, \frac{1}{2}]$
- $Q = 0$  para  $x \in (\frac{1}{2}, 1]$

Condiciones de contorno:

- $\bar{T} = 1$  en  $x = 0$
- $\bar{T} = 0$  en  $x = 1$

Ya que las condiciones Dirichlet las impondremos en la matriz ensamblada luego las matrices elementales se simplificaran a:

$$K_{l,m}^e = k \int \frac{\partial N_l}{\partial x} \frac{\partial N_m}{\partial x} d\Omega^e \quad (8)$$

$$f_l^e = Q \int N_l d\Omega^e \quad (9)$$

## 1.2. Funciones de Forma

Usaremos elementos formados por 2 nodos y funciones de forma lineales que sera:

- $N_i = \frac{h-x}{h}$
- $N_j = 1 - \frac{h-x}{h}$

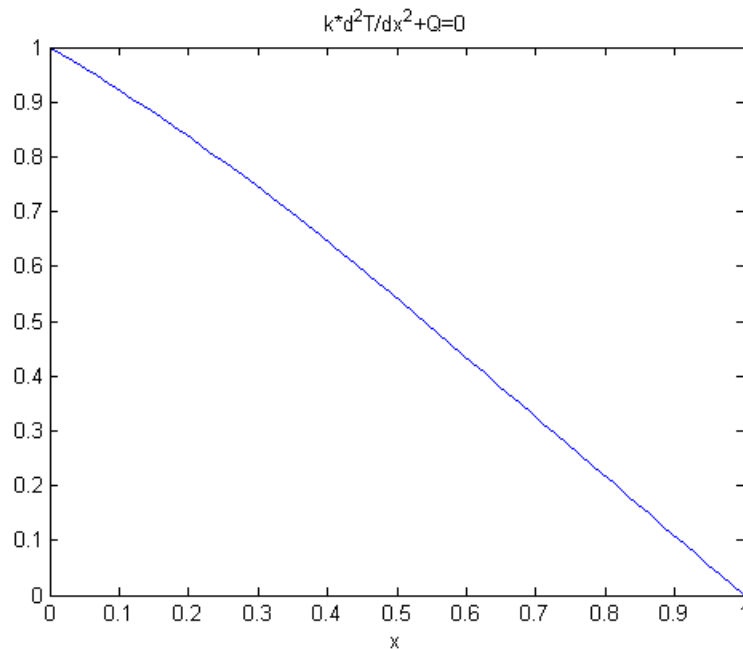
Donde  $h$  es el ancho de cada elemento. Con derivadas:

- $\frac{\partial N_i}{\partial x} = \frac{-1}{h}$
- $\frac{\partial N_j}{\partial x} = \frac{1}{h}$

## 1.3. Resultados

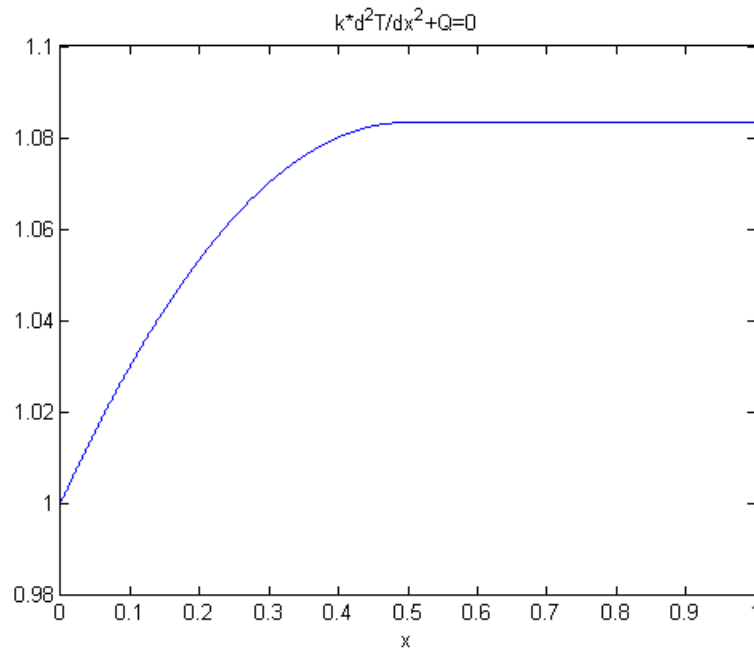
Tomaremos  $L = 1$ . El resultado con 2 condiciones de contorno Dirichlet siguientes es:

- En  $x = 0$  condicion Dirichlet  $T = 1$
- En  $x = 1$  condicion Dirichlet  $T = 0$

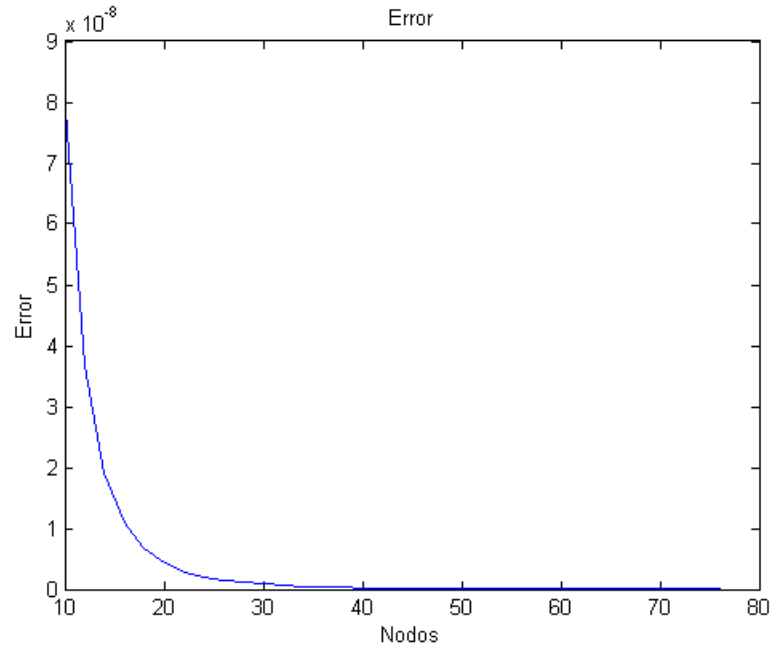


El resultado con 1 condiciones de contorno Dirichlet y una Newmann tal que:

- En  $x = 0$  condicion Dirichlet  $T = 1$
- En  $x = 1$  condicion Newmann  $k \frac{\partial T}{\partial n} = 0$



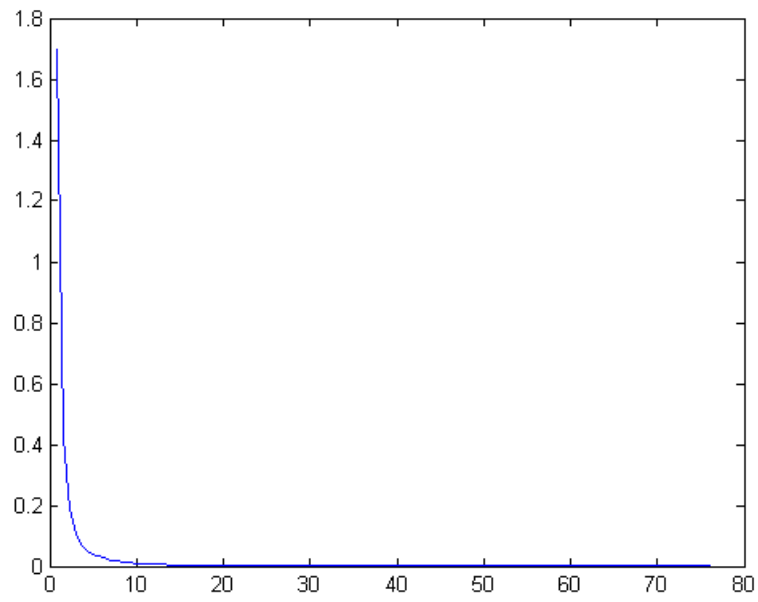
Haciendo pruebas de error de la aproximacion del metodo de elementos finitos, en el caso de fronteras Dirichlet, con respecto a la solucion analitica, podemos ver que a medida que refinamos la malla el error disminuye de la siguiente forma:



El error se midió como el error cuadrático medio.

Es decir que el error disminuye de forma cuadrática a medida que se agregan nodos a la malla, y este aumento de nodos en la malla significa un aumento igual de elementos, ya que se tomaron elementos lineales formados por 2 nodos.

Podemos ver que la gráfica de la función  $y = \frac{1}{x^2}$  es:



Tiene la misma tendencia que el resultado del error por esto decimos que el error disminuye cuadráticamente con la cantidad de nodos.